

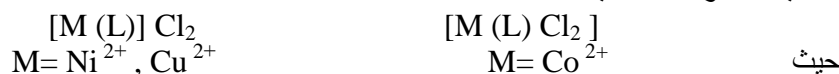
Synthesis and preparation of open cyclic tetra dentate ligand type NNSS and their metal complexes with di valence cobalte nickel and copper

تحضير وتشخيص ليكائد حلقة مفتوحة رباعي السن من نوع NNSS ومعقداته
الفلزية للكوبالت والنikel والنحاس الثنائي التكافؤ

م. م شذى عبد الامير جواد
جامعة كربلاء / كلية التربية للعلوم الصرفة

الخلاصة

تضمن البحث تحضير وتشخيص ليكائد حلقة مفتوحة من نوع (NNSS) ومعقداته مع بعض الايونات للعناصر الانتقالية الثنائية التكافؤ ذات الصيغة العامة :



حيث

حضر الليكائد بخطوة واحدة تضمنت مفاعلة مكافئين من حامض 3- مركتو بروبانويك مع مكافئ واحد من بروبلين ثلثي امين . وبعد اتمام تحضير هذا الليكائد حضرت المعقدات من خلال مفاعلة الليكائد الناتج مع مكافئ واحد من الايونات الفلزية (Cu^{2+} , Ni^{2+} , Co^{2+}) شخص الليكائد والمعقدات المحضرة بواسطة مطيافية الاشعة تحت الحمراء والأشعة فوق البنفسجية – المرئية وطيف الرنين النووي المغناطيسي للبروتون للليكائد ومعقد النيكيل وطيف الرنين النووي المغناطيسي للكاربون للليكائد فقط . وتحليل الكمي الدقيق للعناصر اضافة الى قياسات التوصيلية المولارية وقياسات درجات الانصهار والحساسية المغناطيسية . بينت الدراسات ان الاشكال الفراغية المقترنة للمعقدات المحضرة هي ثمانية السطوح المشوهة (distorted octahedral) للكوبالت و للنحاس و رباعي السطوح للنيكل (tetrahedral). كما تم ايجاد نسبة الايون الى الليكائد (M:L) بطريقة النسب المولية فكانت (1:1) لكل المعقدات المحضرة .

Abstract:

The open cyclic ligand type NNSS have been prepared through one step. Included the reaction between two equivalent of 3- mercapto propanoic acid and one equinvalent of propylene di amine . the Co^{2+} , Ni^{2+} , Cu^{2+} from there action of the ligand Complexes were prepared with metal ions (1:1) ratio , the prepared compounds were characterized by FT-IR , UV-Vis , H NMR for the ligand and and nichel complexe , ^{13}C - NMR for the ligand , C.H.N spectoscopies, as well as the molar conductivity and magnetic susceptibility , Mole ratio was corried out of prepared complexes . These measurements shows cobalt and copper complexes have distorted octahedral shape , while nichel complex has tetrahedral shape .

Key words : 3- mercapto propanoic acid , propylene di amine, spectra study.

المقدمة :

اكتسبت كيمياء المعقدات التناسقية وخاصة كيمياء العناصر الانتقالية أهمية كبيرة في العقود القليلة المنصرمة لما لها من اسهامات واسعة ومتعددة في معرفة كيفية تكون هذه المعقدات وتحديد كيفية التناصر فيها⁽¹⁾. وقد بينت الكثير من الدراسات ان لها اهمية في العمليات الバイولوجية في كثير من الكائنات الحية ، اذ تكون على شكل معقدات باليوجية فيها مثل الهيموكلوبين في الدم والكلوروفيل في النباتات⁽²⁾، وكماذج احيائية في العديد من القاعلات الایضية⁽³⁻⁵⁾ فهي تلعب دوراً كبيراً ومتزايداً ومهماً في مجالات اخرى كثيرة مثل الصناعة كعوامل مقاومة للتآكل و معاملات للتربة و عوامل محفزة⁽⁶⁾ و غيرها ، و في المجالات الطبية كمواد صيدلانية و كعاقير مضادة للكثير من الامراض و منها السرطان.⁽⁷⁾ ان تكون مثل هذه المعقدات تعتبر ظاهرة عامة لكثير من ايونات العناصر⁽⁸⁾، ولكنها لوحظت بصورة خاصة في ايونات العناصر الانتقالية . اذ يتكون هذا النوع من المعقدات من تفاعل (حامض- قاعدة) لويس اي من تفاعل الفلز او الايون الفلزي (حامض لويس) الذي يحتوي على اوربيتالات خالية ومتماطلة و ذات طاقة معتدلة مع الذرات اللافتة (قاعدة لويس) الحاوية على مزدوجات الكترونية غير متاصرة⁽⁹⁾.

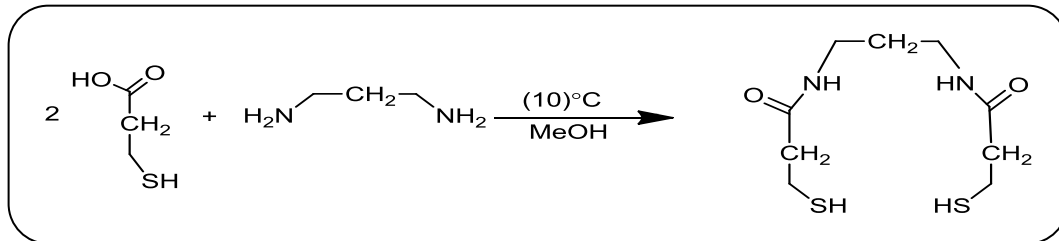
وأخيراً تتميز معظم هذه المعقدات باللون زاهية وخواص مغناطيسية⁽¹⁰⁾ وثباتية عالية بسبب احتواها على اوربيتالات d او F غير المشبع في الحالة الذرية او احدى حالات التاكسد⁽¹¹⁾.

الجزء العملي :

جهزت معظم المواد المستخدمة من شركة Merck و BDH و بدون اي عمليات تنقية اضافية ، قيست درجات الانصهار باستخدام Electrothermal M.P App Digt .، سجلت اطيف الاشعة فوق البنفسجية - المرئية باستخدام جهاز UV-Visible Spectro photometer – 1800 , Shimadzu , (Japan) ، سجلت اطيف الاشعة تحت الحمراء باستخدام جهاز FTIR-8400 S Shimadzu (Japan) [Broker – 400 Germany] ، وسجلت اطيف NMR باستخدام جهاز Shimadzu (Japan) [Broker – 400 Germany] ، قيست التوصيلية الكهربائية باستخدام جهاز Digital Conductivity meter – WT – 720 – inolab (Germany) .

تحضير الليكанд (L) :

أذيب (2.2×10^{-4} mol) من مادة حامض 3- مركبتو بروبانويك (3- mercapto acetic acid) في (15mL 2mL ،) من الميثانول ثم اضيف اليه مع التحريك المستمر (1.2×10^{-4} mol) من مادة بروبيلين ثانوي امين propylene di amine) مع التحريك بالمحرك المغناطيسي لمدة ساعة في حمام ثلجي ذو درجة حرارة 10°C . ثم سخن (15mL) من الميثانول الى درجة حرارة 30°C واضيف الى محلول التفاعل مع التحريك . إذ لوحظ تكون راسب ابيض مصفر بعد غسله مرتان ب (10 mL) من الايثانول البارد و (10 mL) من الايثانول ذو وزن (1.980 g) وبنسبة منتوج (65.86 %) ودرجة غليان 122-125 °C .



مخطط (1) : تحضير الليكанд

تحضير المعقدات :

تحضير المعقد [Co (L) Cl₂]

حضر هذا المعقد باستخدام الليكанд (L) وبوجود كلوريد الكوبالت المائي (CoCl₂.6H₂O) وكما يلى : اذيب (0.27g , 10^{-3} mol × 1) من الليكанд المحضر في (15mL) من الايثانول ثم اضيف الى محلول مع التحريك المستمر (0.29 g , $\times 10^{-3}$ mol) من KOH المذاب في الكحول الايثانولي ، ترك المزيج للتحريك لمدة عشر دقائق ثم اضيف اليه بالتدريج مع التحريك المستمر (0.18 g, 1.0×10^{-3} mol) من كلوريد الكوبالت المائي (CoCl₂.6H₂O) المذاب في (10mL) من الايثانول . ثم ترك المزيج للتصعيد العكسي لمدة ساعة حيث لوحظ تغير اللون وبعد الترشيح والغسل مررتان بالايثانول والايثانول وابسا (اسود) وبوزن (0.21 g) وبنسبة منتوج (52.1 %) ودرجة انصهار C ° (241-246) .

تحضير المعقد [Ni (L)]

حضر هذا المعقد باستخدام نفس الطريقة السابقة . ما عدا استخدام (0.19 g) من كلوريد النikel المائي (NiCl₂.6H₂O) حيث تكون راسب ذو لون (اخضر فاتح) وبوزن (0.239 g) وبنسبة منتوج (55.5 %) ودرجة انصهار C ° (302 dec) .

تحضير المعقد [Cu (L)Cl₂]

حضر هذا المعقد باستخدام نفس الطريقة السابقة. ما عدا استخدام (0.172 g) من كلوريد النحاس الثنائي المائي CuCl₂ (0.2H₂O) حيث تكون راسب ذو لون (شذري) وبوزن (0.28 g) وبنسبة منتوج (68.3 %) ودرجة انصهار C ° (291-293) .

والجدول (1) يبين معلومات عن الليكанд المحضر ومعقداته

Comp.	M.wt	Formula	Color	Melting point °C	Yield%
[L]	250.38	C ₉ H ₁₈ N ₂ O ₂ S ₂	ابيض مصفر	122-125	65.8
[Co (L)Cl ₂]	378.20	C ₉ H ₁₆ N ₂ O ₂ S ₂ (Co) Cl ₂	اسود	241-246	52.1
[Cu (L)Cl ₂]	382.82	C ₉ H ₁₆ N ₂ O ₂ S ₂ (Cu) Cl ₂	شذري	291 -293	68.3
[Ni (L)]Cl ₂	377.96	C ₉ H ₁₆ N ₂ O ₂ S ₂ (Ni) Cl ₂	اخضر فاتح	302 dec.	55.5

النتائج والمناقشة :

اتصفت المعقدات الكيليتية المحضرة مع الليكанд بألوان مغایرة للون الليكанд كما واتصفت بأسقفاريتها تجاه الهواء . كما اتصفت بقابلية ذوبانها في البعض من المذيبات العضوية القطبية وغير القطبية والجدول (2) يبيّن نتائج اختبار الذوبانية لها :

جدول (2): نتائج اختبار الذوبانية لليكанд ومعقداته

Compound	DMF	DMSO	MeOH	H ₂ O	Acetone	benzen	n-hexan	Aceto-nitryl	dichloro-methane
[L]	+	+	+	+	-	-	-	-	+
[Co (L)Cl ₄]	+	+	÷	+	-	-	-	-	-
[Cu (L) Cl ₄]	+	+	÷	÷	-	-	-	-	-
[Ni (L)]Cl ₄	+	+	÷	÷	÷	-	-	+	-

+ ذائب ، - غير ذائب ، ÷ ذائب جزئيا

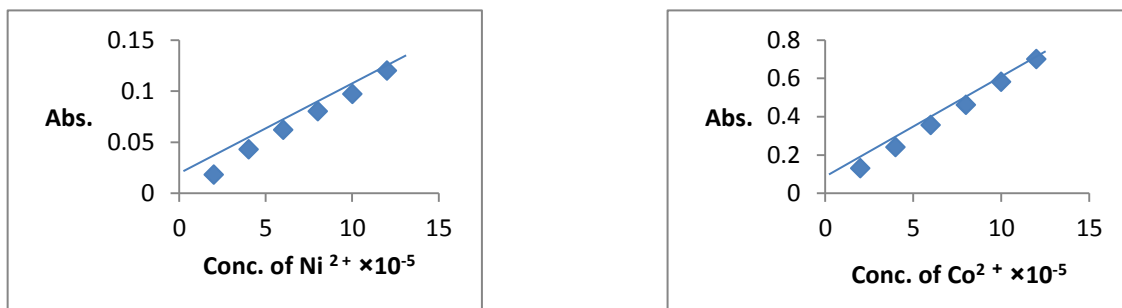
وأفقت قيم التحليل الكمي للعناصر العملية لليكанд ومعقداته القيم النظرية

جدول (3): قيم التحليل الكمي للعناصر العملية والنظرية لليكанд ومعقداته

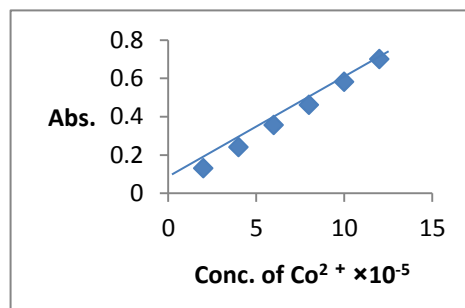
Compound	%C		%H		%N		%S	
	Cal.	Exp.	Cal.	Exp.	Cal.	Exp.	Cal.	Exp.
[L]	43.17	42.47	7.25	7.86	11.19	11.65	25.61	25.66
[Co (L)Cl ₂]	28.58	28.52	4.26	4.83	7.41	7.51	16.96	16.45
[Ni (L)]Cl ₂	28.60	28.66	4.27	4.81	7.41	7.42	16.97	16.95
[Cu (L) Cl ₂]	28.24	28.28	4.21	4.79	7.37	7.32	16.75	16.12

(3-3) منحنيات المعايرة القياسية :

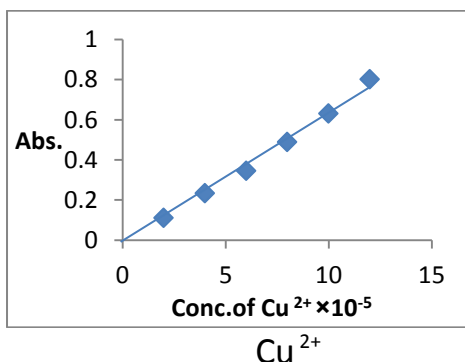
تم اعداد منحني المعايرة للايونات موضوع الدراسة مع الليكанд [L] بتحضير مجموعة من المحاليل ذات تراكيز مختلفة وقد تبين ان التراكيز المختارة تخضع لقانون لامبرت - بير وذلك لاعطائها امتصاصا طيفيا مقبولا عند التراكيز ($10^{-5} \times 10^{-4}$) مولاري .



Ni²⁺



Co²⁺

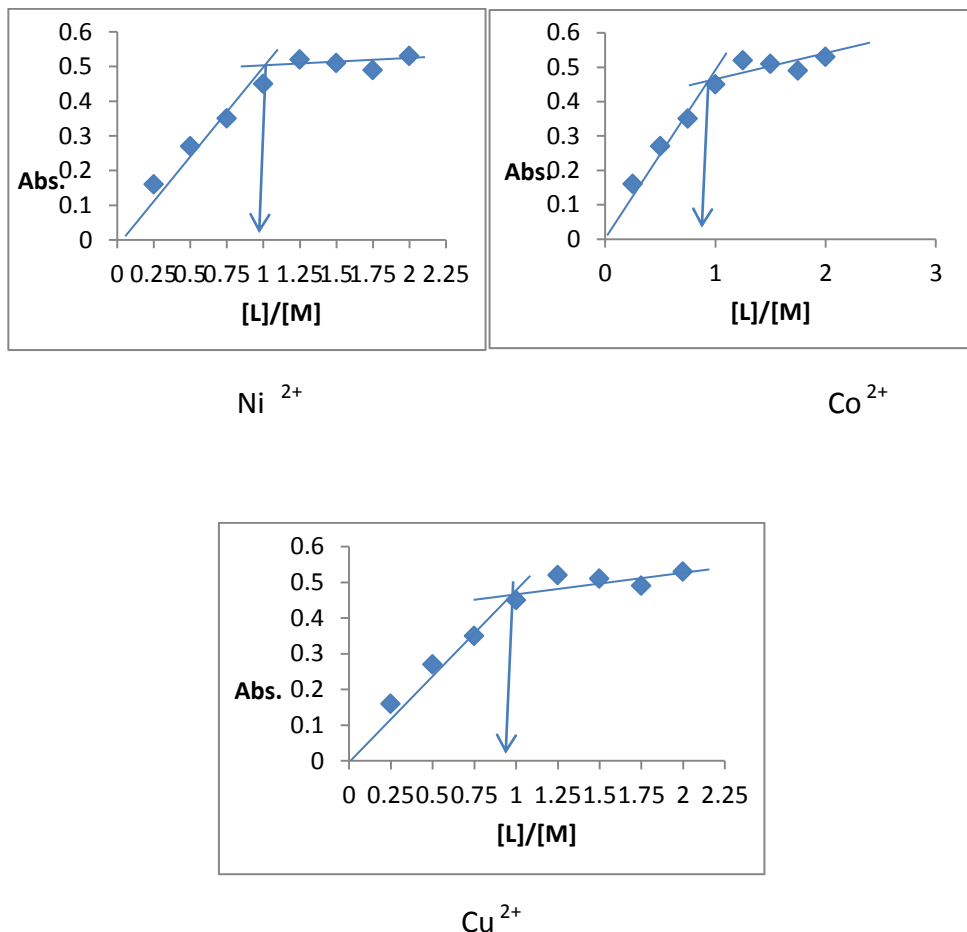


Cu²⁺

الشكل (1) : منحنيات المعايرة للمعقدات قيد الدراسة

تعيين التركيب المحتمل للمعقادات :

ان الطريقة الطيفية تعد من الطرق المهمة لايجاد الصيغة التركيبية المحتملة للمعقادات وخاصة الملونة منها . و تستعمل اطيف الاشعة فوق البنفسجية – المرئية بشكل واسع في هذا المجال . وتعد طريقة النسب المولية من الطرق المهمة المستعملة في تحديد نسبة (الفلز:الليكанд)، وتتضمن هذه الطريقة رسم العلاقة بين الامتصاص على المحور الصادي و نسبة تركيز (الفلز:الليكанд) على المحور السيني ، ثم ترسم الخطوط المستقيمة حتى تتقاطع وتعد نقطة التقاطع هي نسبة (الفلز:الليكанд) في المعقاد⁽¹²⁾ وقد تبين ان نسبة الليكанд الى الفلز (M:L) هي (1:1) ولكافحة المعقادات قيد الدراسة

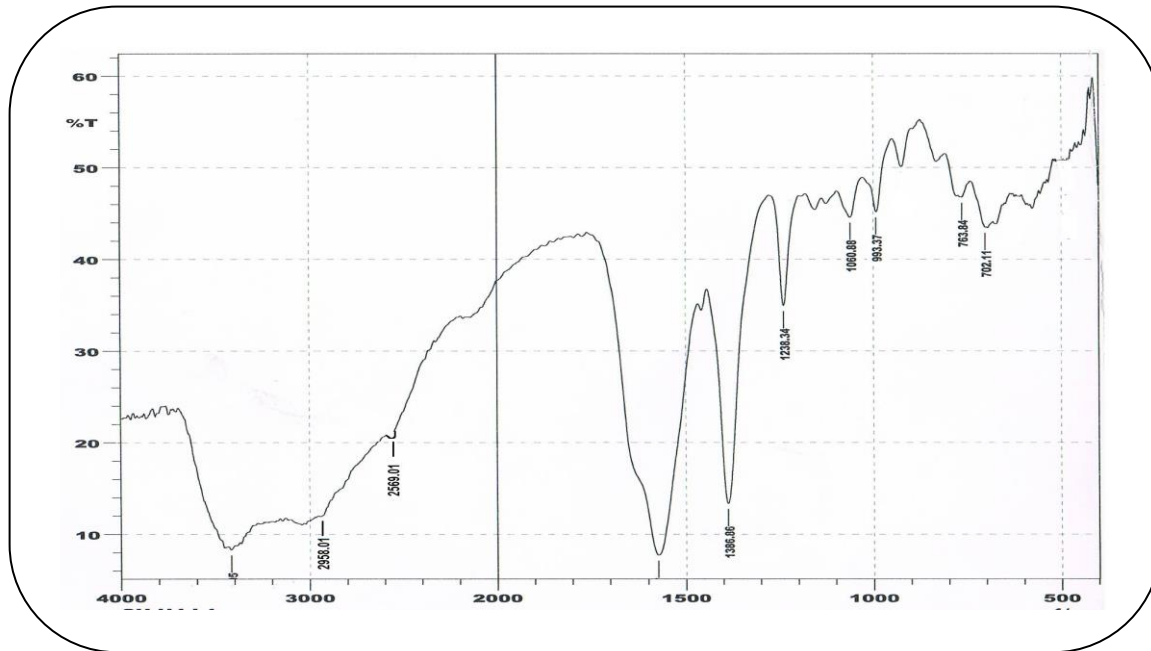


الشكل (2) : النسبة المولية للايونات مع الليكанд

اطياف الاشعة تحت الحمراء لليكанд [L] و معقداته :

طيف الاشعة تحت الحمراء لليكанд [L]

شخص الليكанд [L] عن طريق تتبع طيف الاشعة تحت الحمراء له والتي يبينها الشكل (3). اذ ظهرت حزمة ضعيفة تعود لمط الاصرة (S-H) عند العدد الموجي (2569) سـ⁻¹. كما وظهرت حزمة مط الكاربونيل بعدد موجي اقل من المعتاد عند (1579) سـ⁻¹ بسبب تكون الاصرة الامайдية . كما وظهرت حزمة عند (3410) سـ⁻¹ تعود لمط (N-H) . و حزمة واضحة عند العدد الموجي (2958) سـ⁻¹ عائدة لمط الاصرة (CH₂)⁽¹³⁾.



الشكل (3) : طيف الاشعة تحت الحمراء لليكанд

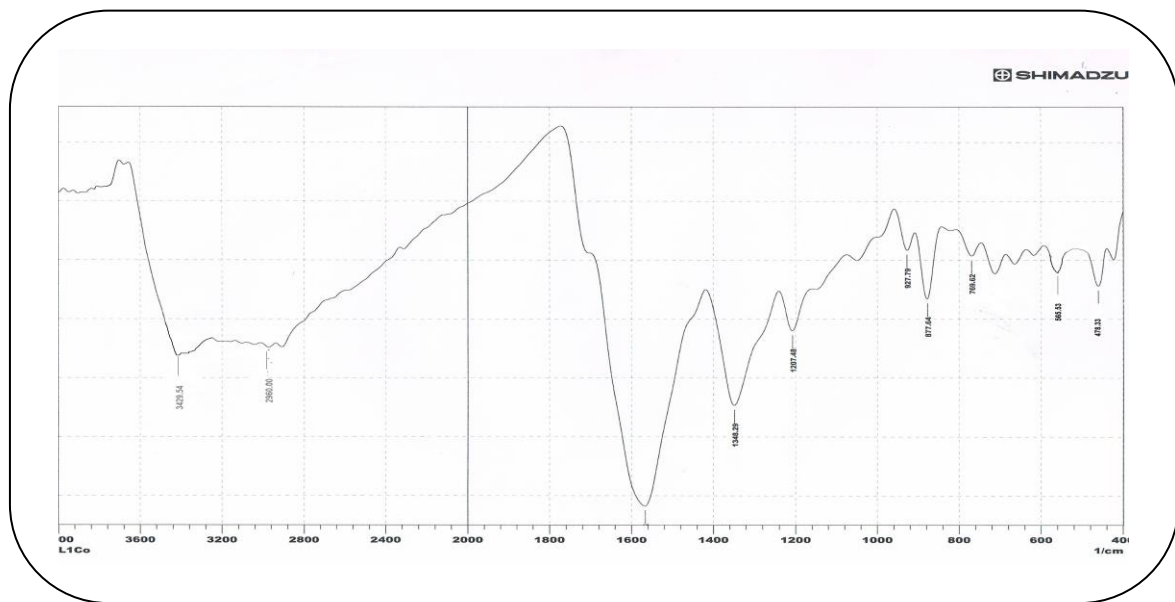
طيف الاشعة تحت الحمراء لمعقدات الليكанд [L]

شخصت المعقدات المحضرة بتتابع طيف الاشعة تحت الحمراء للمعقدات ومقارنته مع طيف الليكанд [L] الحر ، اذ ازاحت بعض الحزم واختفت بعضها مع ظهور حزم اخرى دلالة على حصول التناقض بينه وبين الفلزات. اظهر الليكанд حزمة ضعيفة عند التردد (3410) سـ⁻¹ تعود لمط الاصرة (N-H) . اما اطياف الاشعة تحت الحمراء للمعقدات المحضرة فقد اظهرت انتزاعاً نحو تردد اعلى في حزمة الامتصاص (N-H) سـ⁻¹ بسبب تناقض ذرة النيتروجين الامайдية مع الايون الفلزي مكونة الاصرة (M-N) وبمقارنة الاصرة (S-H) ذات التردد (2569) سـ⁻¹ لليكанд [L] مع المعقدات نلاحظ انتزاعها دلالة على تناقض ذرة الكبريت مع الايون الفلزي مكونة الاصرة (M-S) . حيث ظهرت قمم جديدة عند المدى (570-530) سـ⁻¹ و (453- 480) سـ⁻¹ والعائدة للاصرة (M-S) و (M-N) على التوالي⁽¹⁴⁻¹³⁾ . ولوحظ ان هذه الترددات تظهر في منطقة التردد الواطئ من اطياف الاشعة تحت الحمراء للمركبات المعقدة ولا نلاحظ مثل هذه الترددات في طيف الليكанд⁽¹⁵⁾.

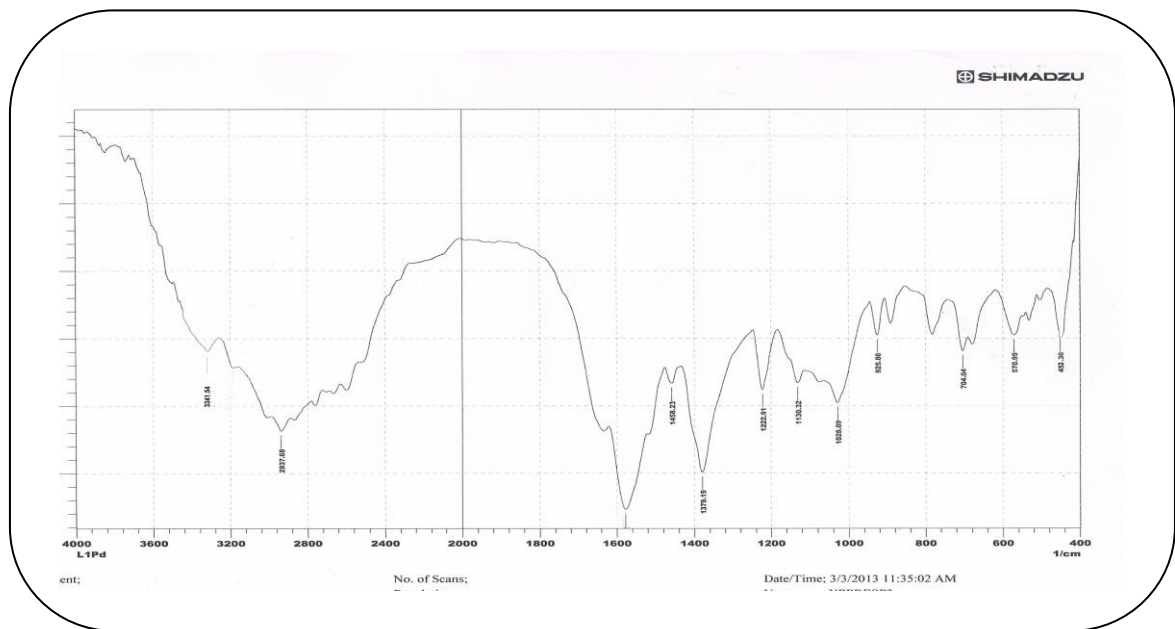
جدول (4) : بعض الترددات الاساسية للاشعة تحت الحمراء لليكанд و معقداته

Comp.	v(N-H)	v(CH ₂) aliphatic	v(C=O)	(S -H) v	(M-N) v	v(M-S)
[L]	(3410) _w	(2958) _w	(1579) _s	(2569) _w
[Co (L)Cl ₂]	(3429) _m	(2960) _w	(1587) _s	(2578) _w	(565) _w	(478) _w
[Ni (L)]Cl ₂	(3341) _w	(2937) _w	(1575) _s	(2571) _w	(570) _w	(453) _w
[Cu (L) Cl ₂]	(3420) _m	(2928) _s	(1572) _s	(2580) _w	(530) _w	(480) _w

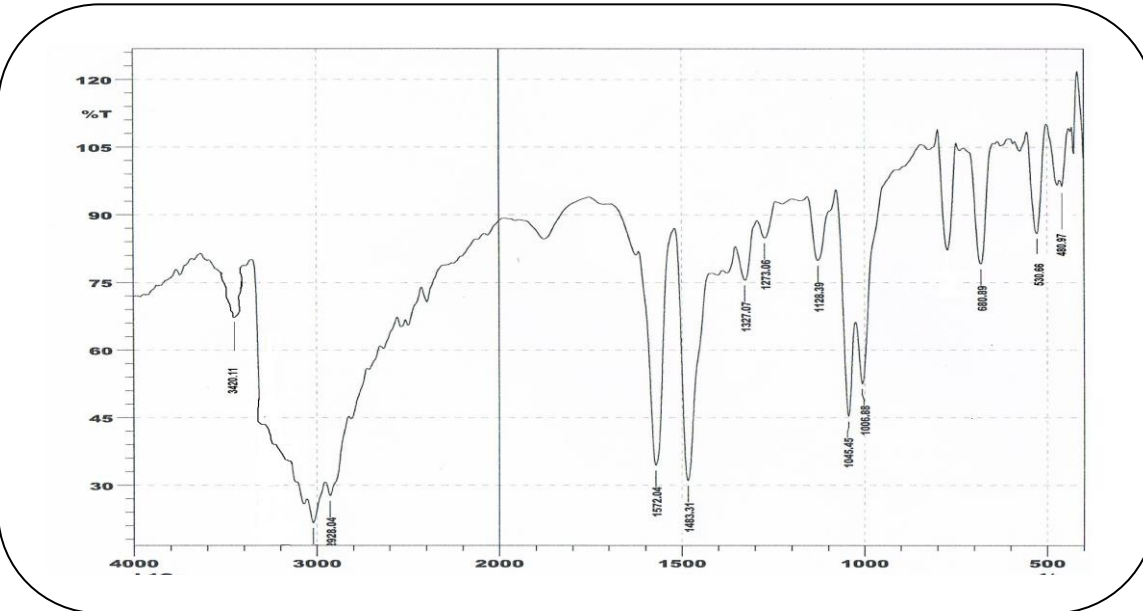
s=strong m=medium , w= weak



الشكل(4): طيف الاشعة تحت الحمراء للمعقد $[Co(L)Cl_2]$

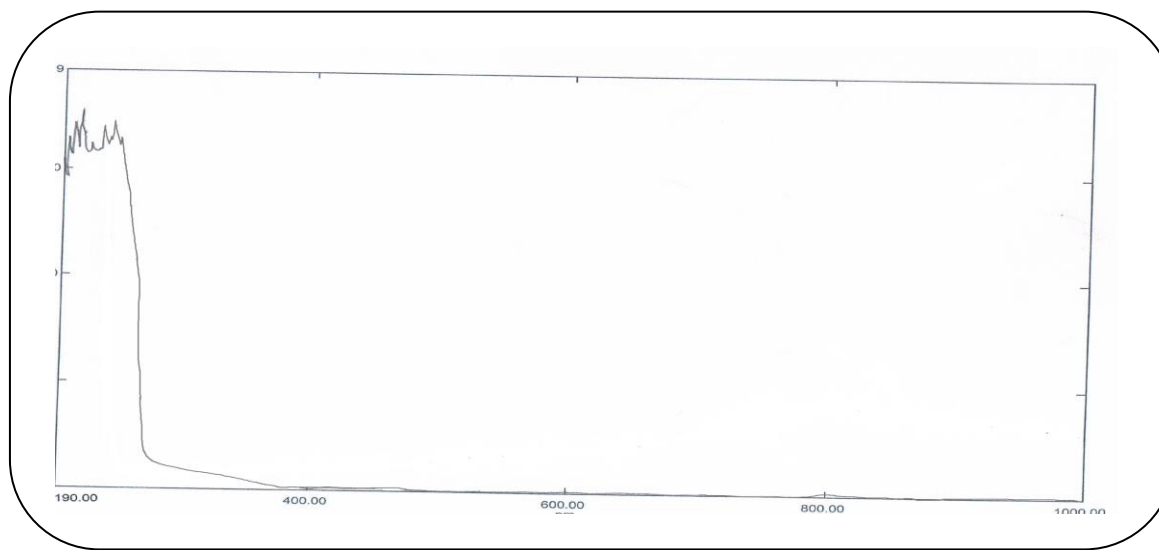


الشكل(5) : طيف الاشعة تحت الحمراء للمعقد $[Ni(L)Cl_2]$



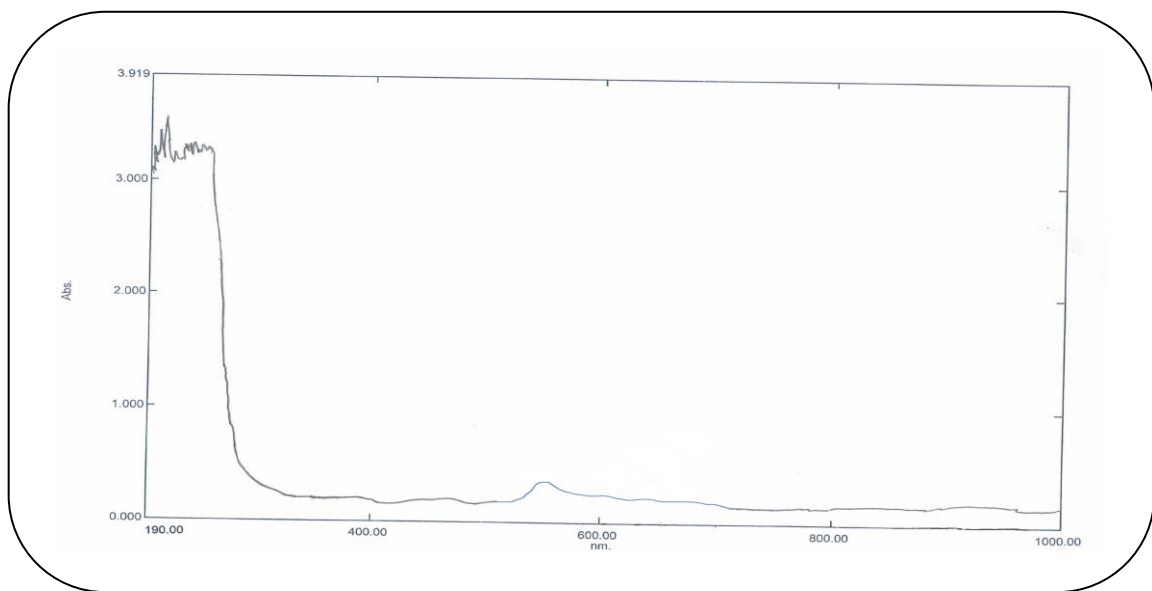
الشكل (6) : طيف الاشعة تحت الحمراء للمعقد [Cu (L) Cl₂]

اطياف الاشعة فوق البنفسجية - المريمية لليكائد و معقداته

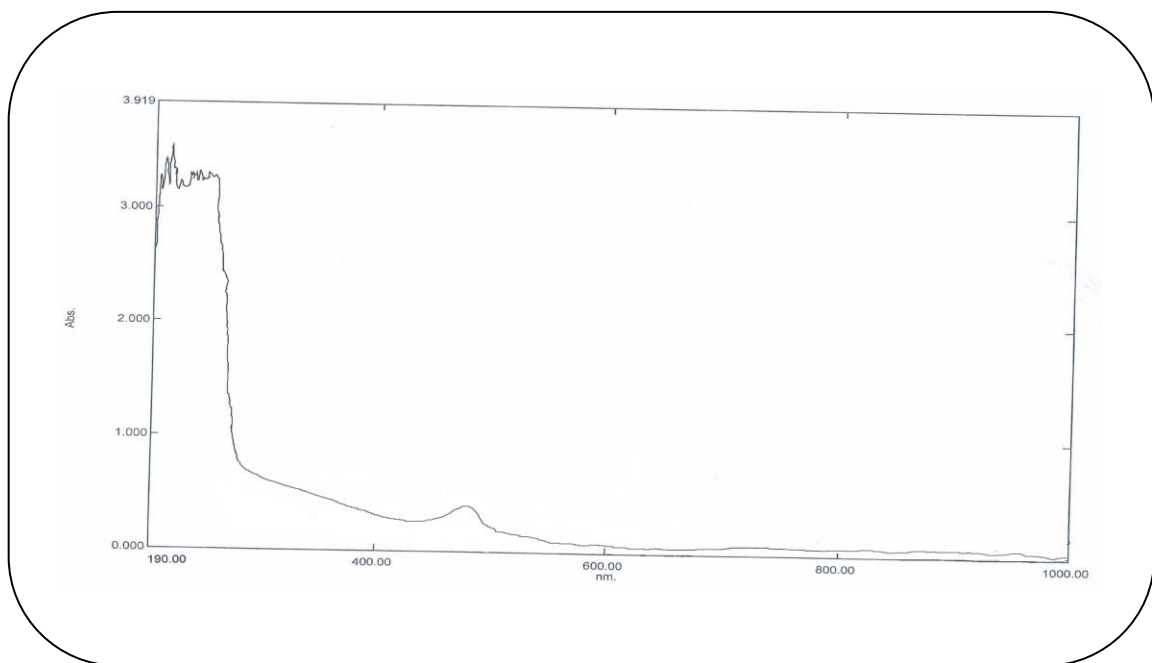


الشكل (7) : طيف الاشعة فوق البنفسجية – المرئية لليكاند [L]

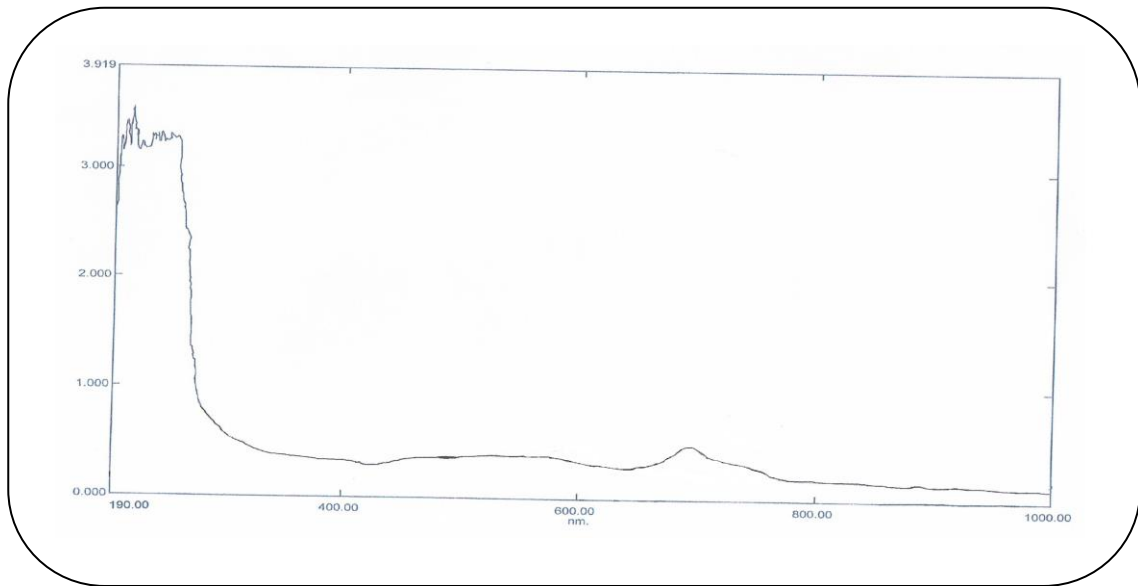
اظهر طيف المعقد [Co]^(L) شكل (8) قمة عريضة بين (276 - 243 = λ) نانومتر تعود الى المجال الليكاندي وانتقال الشحنة . كما اظهر طيف المنطقة المرئية قمة واحدة مميزة عند (575 = λ) نانومتر ، (17391.31) س⁻¹ ، (E_{max} = 410) مولاري⁻¹ . س⁻¹ تعود الى انتقالات (d-d) من نوع T_{1g}^F → T_{2g}^F والتي تعود لمعدقات الكوبيلت⁽¹⁶⁾ ثمانية السطوح حسب مخطط اوركل . اما طيف الاشعة فوق البنفسجية – المرئية لمعقد النيكل [Ni(L)] شكل (9) فقد بين قمة عريضة عند المدى (224-269 = λ) نانومتر تمثل المجال الليكاندي وانتقال الشحنة ، اما المنطقة المرئية فقد بينت قمة واحدة عند (λ = 479) نانومتر ، (20876.83) س⁻¹ ، (E_{max} = 411) مولاري⁻¹ . س⁻¹ تعود الى انتقالات (d-d) من نوع T₁^F → T₂^F والتي توافق معقدات رباعي السطوح المنتظم . واظهر طيف المعقد [CuL] شكل (10) قمة عريضة بين (298-231 = λ) نانومتر تعود الى المجال الليكاندي وانتقال الشحنة واظهر طيف المنطقة المرئية قمة واحدة عند (λ=689) نانومتر ، (14513.79) س⁻¹ ، (E_{max}=687) مولاري⁻¹ . س⁻¹ تعود الى انتقالات (d-d) من نوع T₂^(g) → Eg⁽²⁾ حسب مخطط اوركل⁽¹⁸⁾.



الشكل (8) : طيف الاشعة فوق البنفسجية – المرئية للمعقد $[Co(L)Cl_2]$



الشكل (9) : طيف الاشعة فوق البنفسجية – المرئية للمعقد $[Ni(L)Cl_2]$



الشكل (10): طيف الاشعة فوق البنفسجية- المرئية للمعقد $[\text{Cu}(\text{L})\text{Cl}_2]$

الحساسية المغناطيسية

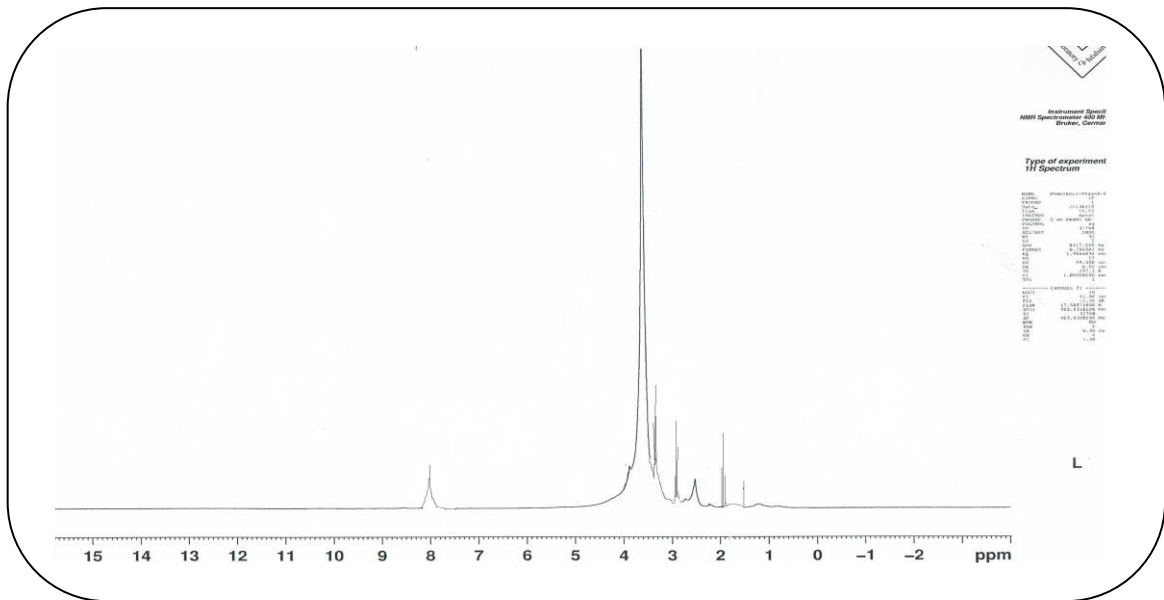
للقياسات المغناطيسية اهمية كبيرة في دراسة معقدات الفلزات الانتقالية ومعرفة اشكالها الهندسية اذ ان اغلب هذه الفلزات تمتلك الكترونات منفردة وتظهر صفات بارا مغناطيسية وفضلا عن ذلك فكلما كان عدد الالكترونات المنفردة اكبر كان العزم المغناطيسي للايون اكبر⁽¹⁹⁾

جدول (5) : يبين قيم الحساسية المغناطيسية والاطياف الالكترونية للمعقادات

Complexes	$\mu_{\text{eff}}(\text{B.M})$	λ_{max}	Assignment	Absorption Band(cm^{-1})	Proposed structure
$[\text{Co}(\text{L})\text{Cl}_2]$	3.68	575	${}^4\text{T}_{1\text{g}}^{\text{F}} \rightarrow {}^4\text{T}_{2\text{g}}^{\text{F}}$	15243.90	distorted oh
$[\text{Ni}(\text{L})]\text{Cl}_2$	2.82	479	${}^4\text{T}_1^{\text{F}} \rightarrow {}^4\text{T}_2^{\text{F}}$	23809.52	Td
$[\text{Cu}(\text{L})\text{Cl}_2]$	1.69	689	${}^2\text{E}_{\text{g}} \rightarrow {}^2\text{T}_2 \text{ g}$	11148.27	distorted Oh

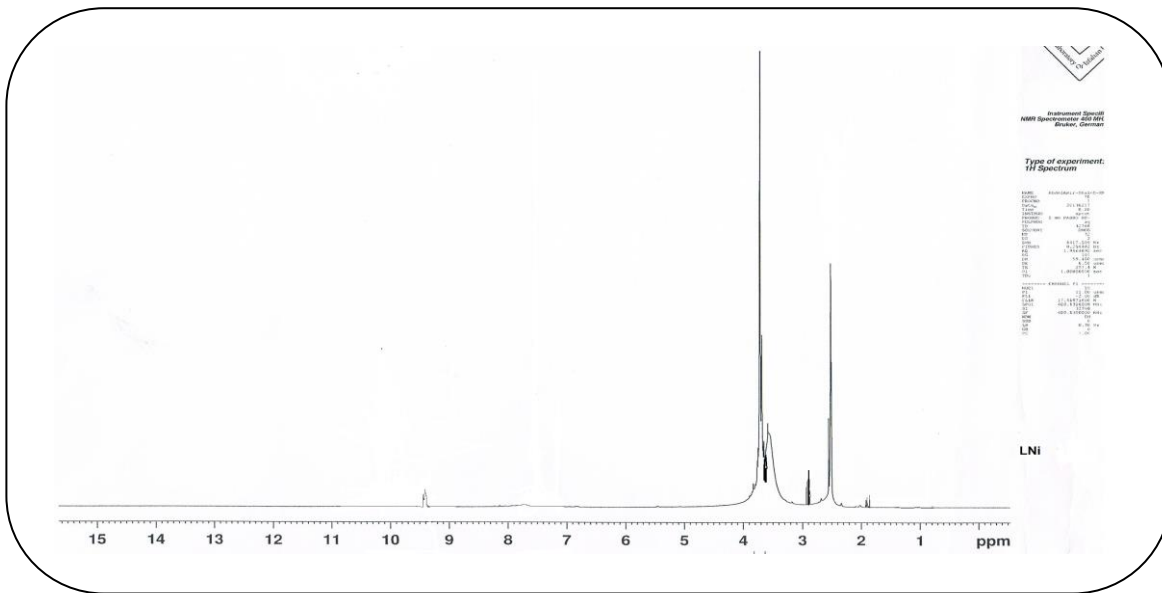
اطياف الرنين النووي المغناطيسي للبروتون للبيكانيد ومعقد النikel

اظهر طيف الرنين النووي المغناطيسي للبروتون (${}^1\text{H-NMR}$) للبيكانيد الحر (L) في مذيب DMSO-d_6 ، شكل (11) الازاحة الكيميائية عند (2H , 8.03 ppm) يمكن اعزائها الى بروتونات ذرتي التتروجين الامادية . وازاحة كيميائية عند (3.42 ppm) يمكن اعزائها الى مجموعتي المثيلين المرتبطة بذرتي النايتروجين الامادية .. اما الازاحة الكيميائية عند (2.84 ppm , 4H ppm) فتعود الى بروتونات مجموعتي المثيلين المرتبطة بذرتي الكبريت . وظهرت ازاحة اخرى (2.48 ppm , 4H ppm) تعود لبروتونات مجموعتي المثيلين المرتبطة بمجموعتي الكاربونييل الامادية . والإشارة عند (1.86 ppm , 2H ppm) تعود الى مجموعتي المثيلين الوسطية لقاعدة التتروجينية . والازاحة عند (1.5 ppm , 2H) تعود للبروتونات المرتبطة مباشرة بذرتي الكبريت⁽²⁰⁾.



الشكل (11): طيف الرنين النووي المغناطيسي للبروتون لليكائد [L]

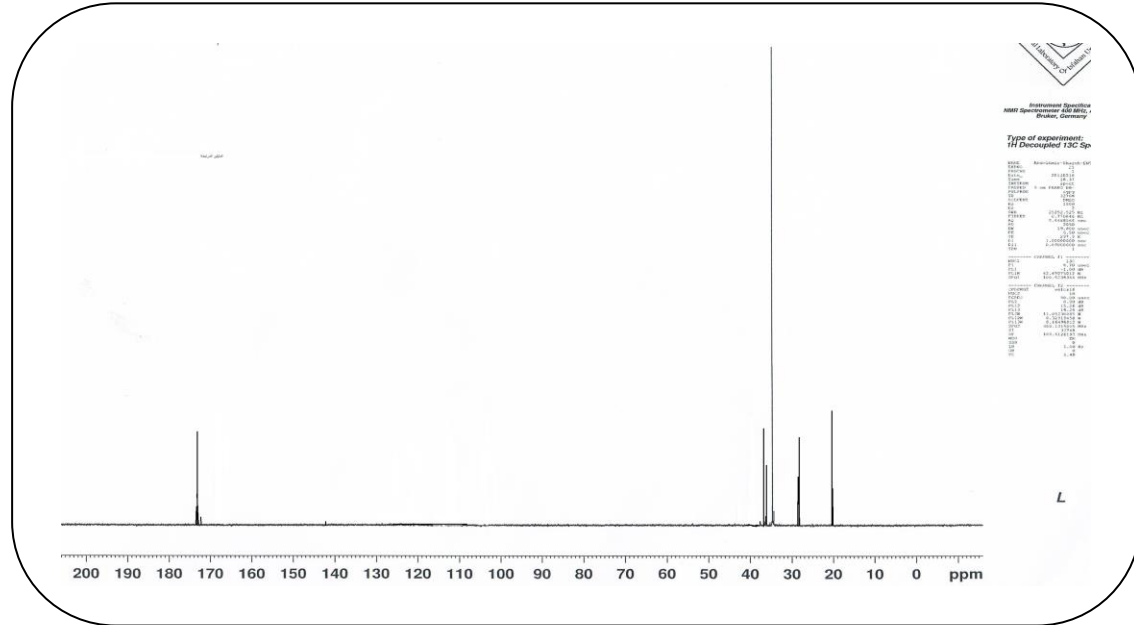
في حين اظهر طيف المعقد NiL شكل (12) الاشارات الكيميائية عند ($\delta = 1.89$ ppm, 2H) والتي تعود الى بروتونات مجموعة المثيلين الوسطية التابعة لقاعدة التتروجينية ، اما بروتونات مجموعة المثيلين المرتبطة بذرتي التتروجين الامادية فقد اظهرت ازاحة كيميائية عند ($\delta = 3.52$ ppm, 4H)، كما اظهر الطيف ازاحة كيميائية عند ($\delta = 9.41$ ppm, 2H) تعود الى بروتونات التتروجين الامادية والتي اختلف موقعها عن موقع اشارة نفس المجموعة لليكائد الحر دلالة على تناقص ذرتي التتروجين مع الايون الفلزى . وظهرت اشارة ($\delta = 2.65$ ppm, 4H) والتي تعود الى بروتونات مجموعة المثيلين المرتبطة بمجموعتي الكاربونيل والاشارة عند ($\delta = 2.96$ ppm, 4H) والتي تعود الى بروتونات مجموعة المثيلين المرتبطة بذرتي الكبريت مباشرة كما ان انزياح وانخفاض شدة الاشارة العائدة للبروتونات المرتبطة بذرات الكبريت دلالة على تناقص ذرات الكبريت مع الايون الفلزى.⁽²⁰⁾



الشكل(12): طيف الرنين النووي المغناطيسي للبروتون للمعقد [Ni L]

طيف الرنين النووي المغناطيسي للكاربون - 13- لليكанд [L]

اظهر طيف الرنين النووي المغناطيسي للكاربون ^{13}C -NMR لليكанд [L] الشكل(13) في مذيب $\text{d}^6\text{-DMSO}$ الازاحت الكيميائية عند $\delta=173.3 \text{ ppm}$ تعود الى كarbon مجموعه الكاربونيل في الليكанд . وظهرت ازاحة كيميائية عند ($\delta=37.4 \text{ ppm}$) يمكن اعزائها الى ذرتi الكاربون المرتبطة مباشرة مع ذرتi النتروجين الامائديه. اما الازاحة ($\delta=36.4 \text{ ppm}$) فتعود الى مجموعتي المثيلين المرتبطة بمجموعتي الكاربونيل الامائديه . والإشارة عند ($\delta=28.7 \text{ ppm}$) التابعة الى ذرة كarbon مجموعه المثيلين الوسطية في القاعدة النتروجينيه . اما الاشارة عند ($\delta=20.2 \text{ ppm}$) فتعود الى كarbon مجموعتي المثيلين المرتبطة بذرتي الكبريت مباشرة ⁽²⁰⁾.



الشكل(13): طيف الرنين النووي المغناطيسي للكاربون - 13 - لليكанд

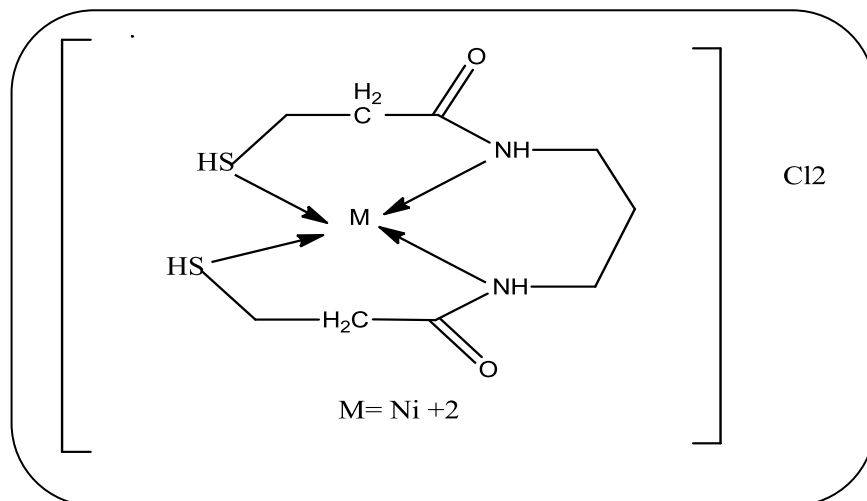
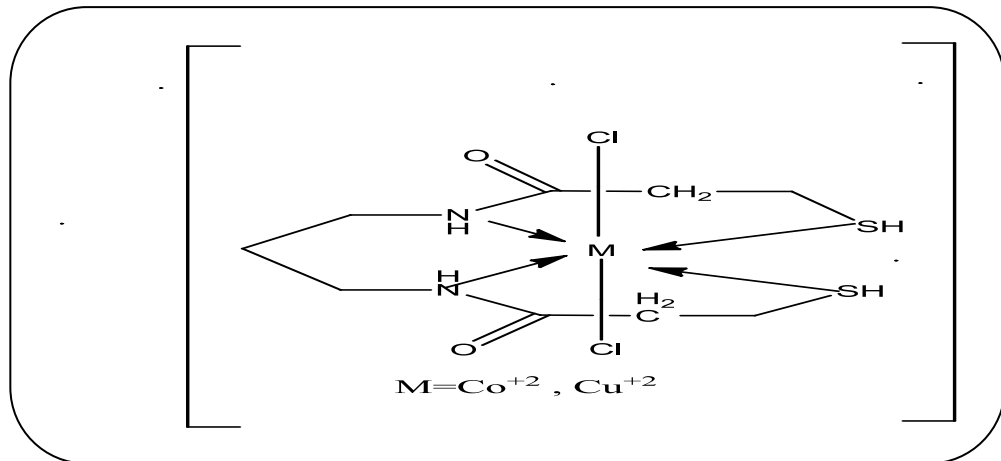
في بحثنا هذا قيست التوصيلية الكهربائية المولارية لمحاليل المعقادات الكلينية الصلبة للايونات المعنية بالدراسة مع الليكандات المحضرة عند تركيز $(\text{M} \times 10^{-3})$ في مذيب ثنائي مثيل اوكسيد الكبريت (DMSO) وفي درجة حرارة المختبر حيث وجود الكلوريدات خارج الكرة التناسقية تكون المعقادات موصولة للكهربائية اما وجودها داخلها تكون هذه المعقادات موصولة كهربائيا ⁽²¹⁾ وقد تبين من نتائج التوصيلية الكهربائية ان معقاد الكوبالت والنحاس غير اللكترونلية بينما معدن النيكل يكون اللكترونلية و كما هو موضح في الجدول (6)

الجدول (6) : قيم التوصيلية المولارية للمعقادات

Complex	$\Lambda_m(\text{S.mol}^{-1}.\text{cm}^2)$ In(DMSO)
L	13.1
$[\text{Co}(\text{L})\text{Cl}_2]$	9.6
$[\text{Ni}(\text{L})\text{Cl}_2]$	84.7
$[\text{Cu}(\text{L})\text{Cl}_2]$	22.1

الشكل المقترن للمعقادات

بينت القياسات المختلفة الماخوذة ان لمعقد الكوبالت و النحاس شكل الثمانى السطوح المشوه (distorted octahedral) ولمعدن النيكل شكل رباعي السطوح (tetrahedral) كما في الاشكال ادنى :



المصادر

- 1 - A.H.Dawood, E.T.Kareem & A.M.Madlool,. **Inter. J. of Chem.**, 4, 6, 64-74 (2012).
- 2- A.R.Adem, M.Antonovich, L.F.Lindoy, M.M.Partlin & P.A.Tasker, **J. Chem. Soc. Dalton Trans**, 1013 (1993).
- 3 - J.P.L.Cox, K.J.Jamkowski, A.Harrison & C.Walker , **J. Chem. Soc. Chem. Commun**, 797 (1989).
- 4- M.Sabat, K.A.Satyashur & M.Sandralingam, **J. Am. Chem. Soc.** , 105, 978 (1989) .
- 5- H . Sigel, B.E.Fisher & S.Farkas , **Inorg. Chem.** , 22, 925 (1983).
- 6- N.R.Champness , C.S.Frampton & D.A.Toucher , **J. Chem. Soc. , Dalton Trans** , 303 (1994).
- 7- N.Singh , R.N.Patel & K.K.Sukla , **Indian J. Chem.** , 42, 1883 (2003).
- 8- V.G.Dave & P.J.Vags , **Inter. J. Chem. Applications** , 2, 2, 88- 102 (2010).
- 9- B.P.Baranwal, T. Gupta & A.K.Singh , **Indian. J. Chem.** , 42 , 1905 (2003).
- 10 -S.A.Kettle,“ **Coordination Compounds** ”,Tomasnelson and Sons , London (1975).
- 11- D.F.Shriver , P.W.Atkins , J.H.Weber & F. A.Armstrong , “ **Inorganic Chemistry** ” , 6th Ed , New York ,219 (2009).
- 12- J.M.Bosque – Sendra , E.A.Loppez & A.M.Garcia , **Anal. Sci** , 19, 1431, (2003).
- 13- N.Turan, N.Colak & M.Sekerci , **IJNES** , 2, 3 , 27 (2008).
- 14- B.M.Trivedi, " **Synthesis , characterization and chelating properties of Novel ligand** " , Ph.D Thesis , Hew North Guj. University (2010).
- 15- T.Kavitha, A.Kulandaismy & P.Thillaiarasu, **Chem Sci Trans** , 2(S1), S25-S32 (2013).
- 16- Sh. A. Alyass " **Synthesis new macrocyclic ligands type N2S2 and their metal complexes and studying thermodynamic properties of complexes** " , M.Sc. thesis , karbala University (2014) .
- 17 - A.B.P.Lever,"**Inorganic Electronic Spectroscopy**" ,2nd Edn.,Elsevier Press,New york, (1968).
- 18 - R.L. Dutta & A.Syamal " **Elements Magnetochemistry** " , 2nd Edn.,East-West Press,New Delhi, (1992).
- 19 - N.H.Obad & R.T.Mahdi , **Kufa Journal for chemistry** , NO.2 (2011).
- 20- A.Pandy, R.Rajavel, S.Candraker & D.Dash, **E-Journal of Chemistry** , 9,4,2524-2531(2012).
- 21-R.L.Carlin& A.J.V.Duyneveldt,"**Magnetic properties of transition metal compounds** " , New York,(1977) .